

ПРЕОБРАЗОВАНИЕ КВАРЦИТОВ КАК СЛЕДСТВИЕ ПОЗДНИХ ТЕКТОНИЧЕСКИХ СОБЫТИЙ В РАЗВИТИИ ЧУЙСКОЙ И ГАРГАНСКОЙ ГЛЫБ

В.А. Макрыгина, А.М. Федоров

Институт геохимии им. А.П. Виноградова СО РАН,
644033, Иркутск, ул. Фаворского, 1а, Россия

Рассмотрена эволюция тектонической обстановки и geoхимические особенности пород районов проявления сверхчистого кварца в Прибайкалье. Это Чуйское поднятие Северного Прибайкалья с Тыйским месторождением кварца, месторождение Бурал-Сарыдаг и другие проявления на Гарганской глыбе Восточного Саяна. Выявлены черты сходства в седиментации и тектоническом развитии регионов. Кварциты отлагаются в преддуговых бассейнах в составе кремнисто-карbonатных толщ с незначительными проявлениями толеитового вулканизма и малой примесью терригенного материала. Эти условия обеспечивают их исходную относительную чистоту. Слабометаморфизованные кварциты содержащие толщи либо отлагаются, либо надвинуты в процессе коллизии на более древнее высокометаморфизованное основание, сложенное тоналит-трондjemит-гранодиоритовой ассоциацией (ТТГА, Гарганная глыба) или метавулканитами активных континентальных окраин (Чуйское поднятие). Мигматизация основания и внедрение в него гранитоидов приводят к его воздыманию, сбросовым смещениям и эрозии перекрывающих толщ. Если надвигообразование сопряжено с ретрессивным метаморфизмом основания и прогрессивным — покрова, то возвратное движение способно только произвести перекристаллизацию кварца с его очисткой и перегибиюю остальных минералов. Это ведет к формированию линз «суперкварцитов», мильтонитов, катаклазитов и брекчий в шве автохтон — аллохтон и внутри аллохтона.

*Кварциты, кремнисто-карbonатные толщи, древнее основание, метаморфизм, геохимия, возды-
мание структуры, перекристаллизация.*

QUARTZITE TRANSFORMATION AS A CONSEQUENCE OF LATE TECTONIC EVENTS IN THE EVOLUTION OF THE CHUYA AND GARGAN BLOCKS

V.A. Makrygina and A.M. Fedorov

We consider the evolution of the tectonic setting and geochemical features of rocks in ultrapure quartz areas of the Baikal region. These are the Chuya uplift of the northern Baikal region, with the Tyia quartz deposit, as well as the Bural-Sar'dag and other deposits in the Gargan block of East Sayan. Similarities are observed in the sedimentation and tectonic evolution of the regions. The conditions of the deposition of quartzites (forearc basins within siliceous-carbonate rocks with slight tholeiitic volcanism and a small amount of terrigenous material) ensure their relative initial purity. Low-grade quartzite-bearing strata are bedded or thrust by collision over an older high-grade basement consisting of a tonalite-trondjemite-granodiorite association (Gargan block) or active-continental-margin metavolcanics (Chuya uplift). Migmatization of the basement and the intrusion of granitoids therein cause its uplifting, fault displacements, and erosion of the overlying rocks. If the thrusting is associated with retrograde metamorphism of the basement and progressive metamorphism of the cover, backward motion can cause only quartz recrystallization with its purification and the grinding of the other minerals. This leads to the formation of lenses of “superquartzites,” mylonites, cataclasites, and breccias in the autochthon-allochthon suture and within the allochthon.

Quartzites, siliceous-carbonate rocks, ancient basement, metamorphism, geochemistry, uplifting of the structure, recrystallization

ВВЕДЕНИЕ

В настоящее время остро стоит проблема поисков сырья для новой, экологически чистой и возобновляемой энергетики. Одно из главных мест занимает солнечный кремний — сырье для солнечных батарей. Следовательно, нужны большие запасы сверхчистого кварца. В природе существуют два его источника — жильный кварц и метаосадочные кварциты. Но необходимая для промышленности чистота кварца или кварцита в природе встречается редко. Генезис такого кварца до сих пор дискутируется. В Прибайкалье известно несколько месторождений и проявлений сверхчистых кварцитов. Это месторождение Бурал-Сарыдаг и другие проявления кварцитов на Гарганской глыбе Восточного Саяна и Тыйское месторождение в Северном Прибайкалье. Задачей данной работы является сравнение особенностей

строения и тектонической эволюции этих районов с целью выяснения вопроса, сочетание каких факторов и процессов приводит к превращению кварцитов в кондиционное сырье для кремниевого производства.

ЧУЙСКОЕ ПОДНЯТИЕ

В южном и юго-восточном обрамлении Сибирского кратона к нему примыкают несколько осколков древнего фундамента, расположенных в породах более молодого складчатого обрамления. Это Чуйское, Тонодское и Ничатское поднятие на северо-востоке и Гарганская глыба на юго-западе. Из них наиболее полно нами изучено Чуйское поднятие, отделенное от кратона Северо-Байкальским вулкано-плутоническим поясом (хабеленская свита) (рис. 1). Оно сложено чуйской толщей довольно монотонных биотит-амфиболовых и амфибол-биотитовых гнейсов с редкими прослоями ортоамфиболитов. Породы претерпели два этапа метаморфизма: гранулитовой фации в архее, 3050 млн лет, K-Ar метод по амфиболу [Петров, Макрыгина, 1975], 2700 млн лет [Донская и др., 2010], остатки которого сохранились только на северо-востоке поднятия, и наложенного протерозойского метаморфизма амфиболитовой фации. Особенностью толщи является практическое отсутствие метаосадочных пород. По геохимическим данным, породы чуйской серии реконструируются как вулканиты активной континентальной окраины [Макрыгина, 1981]. Мигматизация пород распространена очень широко и приводит к образованию гранитогнейсовых куполов, а на севере поднятия развит комплекс чуйско-кодарских гранитов. Обилие в толще гранитного материала приводит к общему воздыманию структуры. Позднее (1870—1910 млн лет, U-Pb термоизохронный метод, Л.В. Сумин) [Макрыгина и др., 1993] вдоль обрамляющих поднятие разломов вблизи Даванской зоны смятия (Кутимский блок) произошла повторная субщелочная гранитизация (табл. 1), вызвавшая плавление в центральных частях гранитогнейсовых куполов с формированием гранофировых гранитов, амазонитовых пегматитов с Sn-PЗЭ минерализацией (Абчадский купол). Как раз кристаллизация гранофировых гранитов наряду с развитием субщелочной гранитизации и амазонитовых пегматитов свидетельствует об интенсивном поднятии Чуйской глыбы, так как эти образования характерны для малоглубинных условий.

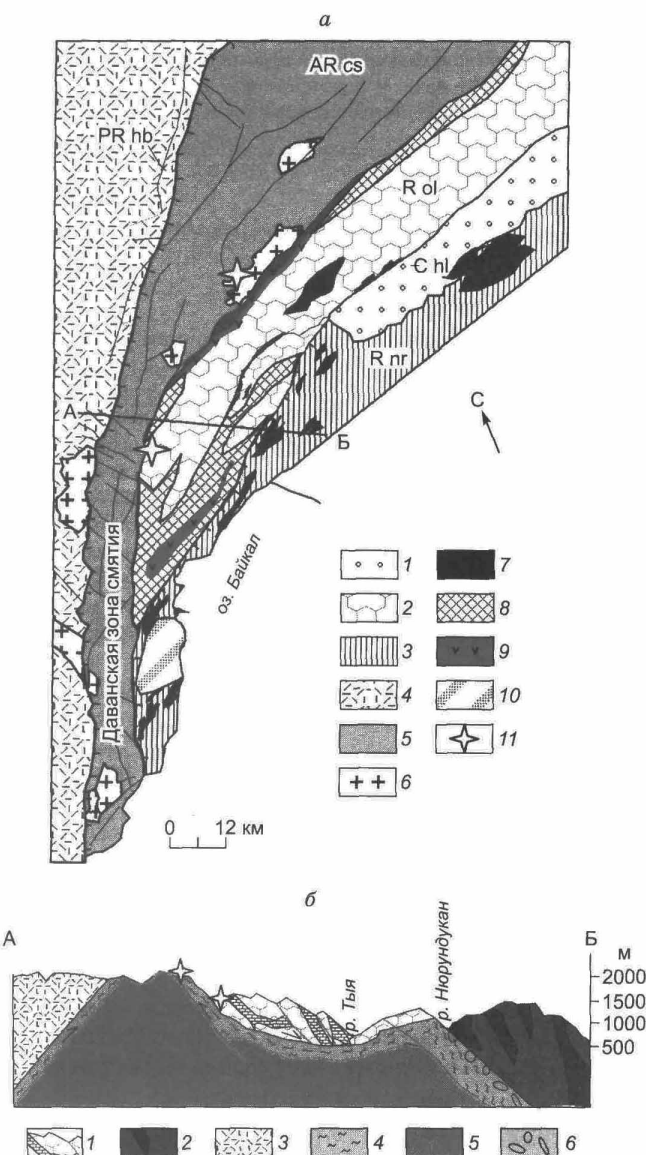


Рис. 1. Схема геологического строения Северного Прибайкалья (по неопубликованной карте А.И. Сизых с добавлениями В.А. Макрыгиной) (а), разрез А—Б (б).

а — 1 — холдинская свита, кембрийская моласса; 2 — вулканогенно-осадочные отложения олекитской серии, неопротерозой; 3 — амфиболиты нюрундуканской свиты, неопротерозой; 4 — вулканиты хабеленской свиты, мезопротерозой; 5 — гнейсы и гранитогнейсы чуйской серии, архей; 6 — граниты ирельского и абчадского комплексов; 7 — мафиты ультрамафиты нюрундуканской серии; 8 — катаклазиты Чуйской серии; 9 — хлоритовые сланцы тыйской свиты; 10 — Богучанский гранулитовый блок; 11 — проявления гранулированного кварца на р. Абчада и Тыкское месторождение чистых кварцитов в олекитской серии; б — 1 — аллохтон олекитской серии, 2 — надвиг нюрундуканскихprotoофиолитов; 3 — хабеленские вулканиты; 4 — катаклазиты чуйских гранитогнейсов; 5 — гранитогнейсы чуйского автохтона; 6 — глыбы тектонического меланжа.

Таблица 1. Состав мигматитов чуйской серии, катахлазитов иловирской свиты и обломков из внутриинформационных брекчий

| Компонент | АБ143 | АБ372 | ГРС | ОЛ33 | ОЛ34 | ОЛ29 | ОЛ31 |
|--------------------------------|---------|--------|---------|-------|-------|---------|---------|
| SiO ₂ , мас. % | 74.7 | 67.37 | 73.09 | 70 | 70.42 | 74.34 | 71.56 |
| TiO ₂ | 0.07 | 0.67 | 0.22 | 0.43 | 0.41 | 0.32 | 0.39 |
| Al ₂ O ₃ | 13.5 | 14.13 | 12.66 | 14.14 | 13.76 | 13.43 | 12.89 |
| Fe ₂ O ₃ | 0.4 | 2.31 | 1.54 | 2.26 | 3.13 | 0.43 | 1.4 |
| FeO | 0.72 | 2.87 | 1.78 | 2.19 | 1.44 | 1.22 | 2.12 |
| MnO | 0.03 | 0.08 | 0.03 | 0.08 | 0.11 | 0.03 | 0.03 |
| MgO | 0.3 | 0.68 | 0.2 | 0.37 | 0.22 | 0.52 | 0.65 |
| CaO | 1.3 | 2.09 | 0.78 | 0.68 | 1.08 | 0.24 | 0.13 |
| Na ₂ O | 4.1 | 3.56 | 3.32 | 2.72 | 2.87 | 3.61 | 2.44 |
| K ₂ O | 4.26 | 5.43 | 5.91 | 5.86 | 5.67 | 5.07 | 7.09 |
| П.п.п. | 0.17 | 0.1 | 0.05 | 0.954 | 0.63 | 0.39 | 0.45 |
| Сумма | 99.55 | 100.48 | 99.76 | 99.75 | 99.81 | 99.67 | 99.22 |
| Li, г/т | 13 | 26 | 3 | 14 | 7 | 8 | 10 |
| Rb | 342 | 280 | 368 | 211 | 200 | 110 | 184 |
| Ba | 930 | 1100 | 390 | 1200 | 1300 | 1100 | 710 |
| Sr | 25 | 170 | 69 | 66 | 72 | 120 | 57 |
| Pb | 63 | 33 | 40 | 43 | 61 | 140 | 57 |
| Sn | 35 | 5 | 10.2 | 9.9 | 9.2 | 3.9 | 5.9 |
| Be | 4 | 6.2 | 3.5 | 7.8 | 5.5 | 3.2 | 2.3 |
| Zn | 7.2 | 98 | 76 | 150 | 100 | 70 | 35 |
| La | 5 | 130 | 150 | 150 | 130 | 540 | 150 |
| Ce | 25 | 330 | 290 | 210 | 220 | 900 | 200 |
| Nd | 8 | 76 | 95 | 105 | 96 | 330 | 98 |
| Sm | Не опр. | 22 | Не опр. | 18 | 15 | 71 | Не опр. |
| Eu | » | 4.1 | » | 1.9 | 2.1 | 3.5 | » |
| Gd | » | 11 | » | 18 | 17 | 41 | » |
| Dy | » | 20 | » | 13 | 13 | 45 | » |
| Yb | 2 | 10 | 8.5 | 7.8 | 6.6 | 13 | 9.8 |
| Y | 15 | 110 | 80 | 51 | 48 | Не опр. | Не опр. |
| Zr | 40 | 715 | 380 | 830 | 575 | 1360 | 355 |
| Nb | 8.6 | 48.3 | 44 | 63.5 | 48.8 | 32.5 | 23 |
| V | 1.5 | 8 | 3.5 | 10 | 10 | 4 | 4 |

Примечание. АБ143 — мигматит ранней гранитизации; АБ372, ГРС — мигматиты субщелочной поздней гранитизации; ОЛ33, ОЛ34 — катахлазиты иловирской свиты; ОЛ29, ОЛ31 — обломки брекчий: ОЛ29 — амазонитовый пегматит, ОЛ31 — гранофировый гранит. Силикатные анализы выполнены методом РФА по стандартной методике [Afonin et al., 1992] (аналитик А.Л. Финкельштейн) с применением аттестованных стандартных образцов [Geostandards..., 1994]; Li, Rb — метод фотометрии пламени (аналитик Л.В. Алтухова); редкие элементы с полным спектром РЗЭ — ICP-MS (аналитик Е.В. Смирнова); остальные анализы выполнены атомно-эмиссионным спектральным методом (АЭСА) (аналитики В.А. Русакова, М.В. Пажитных). Все анализы выполнены в ИГХ СО РАН (г. Иркутск).

С юго-востока на чуйскую толщу надвинуты осадочно-вулканогенные породы Олокитского синклиниория, возраст которых для ондокской свиты, вмещающей Довыренский массив, равен 1000 млн лет по галениту [Тугаринов и др., 1976]. Более поздние U-Pb геохронологические данные [Рыцк и др., 2002] для калиевых риолитов олокитского комплекса дают цифры 711 ± 6 и 727 ± 18 млн лет. Для марекинских гнейсогранитов, гоуджекитских и окунайских граносиенитов и кварцевых сиенитов типичен узкий возрастной интервал — 1846 ± 8 — 1843 ± 5 млн лет [Рыцк и др., 2006], относящийся явно к Чуйскому автохтону.

Сланцы олокитской серии зонально метаморфизованы от зеленосланцевой до амфиболитовой фации кианит-силлиманитовой фациальной серии. На геологических картах их разрез начинается метатерригенной иловирской свитой. Однако детальное изучение разрезов контактов чуйской и иловирской



Рис. 2. Фотографии шлифов ($\times 80$) биотит-амфиболовых гнейсов — катаклазитов по разрезу р. Укучика — р. Абчада.

толщ показало, что последняя представлена катаклазитами и милонитами по мигматитам чуйской серии (рис. 2) [Макрыгина, 1991]. Те и другие породы имеют одинаковый минералогический и химический состав, вплоть до особенностей распределения редких элементов (см. табл. 1). Субщелочная гранитизация привносит в гнейсы большие количества K, РЭЭ, Nb, Zr, концентрирующихся в акцессорных минералах, которые сохраняются и в катаклазитах.

Иногда породы превращены в милониты с флюидальной текстурой и гломеропорфировыми скоплениями давленых вкраплеников калишпата, гастингсита и акцессорных минералов, аналогичных по составу гранитогнейсам чуйской серии. Их ошибочно картировали в качестве вулканитов хибленской свиты. В иловирской свите олокитской серии встречаются так называемые межформационные конгломераты — перемещенные с автохтона обломки амазонитовых пегматитов и гранофировых гранитов. По облику и редкоэлементному составу они аналогичны породам чуйской серии (см. табл. 1). Более того, весь Олокитский синклиниорий подстилается перетертymi породами чуйского автохтона — это катаклазиты (иловирская свита) и незатронутые катаклазом породы чуйской серии, выходящие в тектонических окнах — Унгдарском и Маректинском выступах, на м. Онокачанский. На последнем помимо катаклазитов наблюдаются брекции, состоящие из глыб чуйских мигматитов и гнейсов. Катаклазиты и брекции прослеживаются на западном замыкании синклиниория, где они называются уже харгитайской свитой. Вместе с надвинутыми с юго-востока нюорундуканскими амфиболитами они образуют крупно-глыбовый меланж, который Н.Л. Добрецов с соавторами [1983] считали олистостромой. Но матрикс этого меланжа состоит из тех же катаклазитов и милонитов чуйских мигматитов, в олистостромах же обычно матрикс представлен осадками. Более того, между р. Слюдянка и Богучанской губой, м. Тонкий и до р. Рель нами в 1987 г. был обнаружен блок гранулитов с поперечными к общему северо-восточному направлению пластов нюорундуканских амфиболитов простирациями двупироксеновых сланцев, эндербитов и чарнокитов (см. рис. 1). Состав основных сланцев блока соответствует щелочным базальтам океанических островов (OIB) [Макрыгина и др., 1993]. Основные же породы нюорундуканской серии по геохимическим особенностям соответствуют окраинно-морским базальтам или производным примитивных океанических дуг [Макрыгина, Конева, 1990]. Возраст цирконов из гранулитов по термоизохронному U-Pb методу (Л.В. Сумин) составляет 900 млн лет, а из чарнокитов — 550 млн лет. Повидимому, этот блок был океаническим островом, заблокировавшим зону субдукции. Вследствие этогоprotoофиолиты были обдуцированы на олокитскую серию и подстилающие ее катаклазиты чуйской толщи.

В процессе воздымания основания Чуйского поднятия происходили сбросовые смещения пород олокитской толщи под углами 20—25° с милонитизацией пород кровли автохтона и подошвы аллохтона. Таким образом, тектоническая граница основания и перекрывающей толщи, отмеченная катаклазитами и брекциями, может рассматриваться как детачмент, что сближает структуру с метаморфическими ядрами [Скляров и др., 1997]. Однако форма его осложнена тем, что с юго-востока на структуру надвигается мощная толща нюорундуканских метавулканитов с массивами основных интрузивов (protoофиолитов, по [Клитин, Павлова, 1974]), подпирающими край детачмента крупноглыбовым меланжем. Северо-западная граница Чуйской толщи рисуется на картах как надвиг на вулканиты хибленской свиты и также сопровождается катаклазитами. Положительные морфоструктуры Чуйского поднятия и Даванской зоны смятия по отношению к гипсометрическому уровню катаклазитов возникли, по-видимому, в процессе продолжающейся декомпрессии и разрушения аллохтонных пластин.

Следствием сбросового движения пород нижних свит олокитской серии (тыйской и авкитской) вдоль кровли автохтона (чуйской серии) является грануляция и очистка кварцевых образований как на

Таблица 2. Состав водных вытяжек из кварца пегматитов и кварцевых жил (мг/экв.), р. Абчада, Чуйское поднятие

| Проба | pH | HCO_3^- | Cl^- | F^- | K | Na | Mg | Ca | $\Sigma_{\text{ан}}$ | $\Sigma_{\text{кат}}$ |
|-------|-----|------------------|---------------|--------------|--------|--------|---------|--------|----------------------|-----------------------|
| АБ65 | 6.5 | 0.0060 | 0.0119 | 0.0005 | 0.0026 | 0.0143 | Не обн. | 0.0005 | 0.0176 | 0.0184 |
| АБ615 | 6.5 | 0.0105 | 0.0094 | 0.0004 | 0.0027 | 0.0207 | » | 0.0004 | 0.0239 | 0.0203 |
| АБ115 | 6.1 | 0.0036 | 0.0080 | 0.0009 | 0.0017 | 0.0069 | » | 0.0003 | 0.0090 | 0.0125 |
| АБ123 | 6.1 | 0.0042 | 0.0086 | 0.0006 | 0.0019 | 0.0063 | » | 0.0003 | 0.0087 | 0.0124 |

Примечание. АБ65, АБ615 — кварцевые жилы в гранитогнейсах, АБ115, АБ123 — кварцевые ядра в пегматитах. $\Sigma_{\text{ан}}$ и $\Sigma_{\text{кат}}$ — сумма анионов и катионов. Аналитик Л.С. Таусон, ИГХ СО РАН.

поверхности автохтона, так и в прилегающих породах аллохтона. Так, в кварцевых ядрах абчадских пегматитов и кварцевых жилах юга Чуйского поднятия кварц оказался сверхчистым и гранулированным, что отмечено при съемке м-ба 1:50 000 и анализе водных вытяжек из кварца (табл. 2). В то время как на остальной некатаклазированной площади поднятия редкие кварцевые обособления в пегматитах и жилах не гранулированы и содержат значительные количества примесей. Пласти кварцитов в олокитской серии также не гранулированы и представляют переходы от кварцитов и кварцитопесчаников до кварцитосланцев. Но в кварцитах низов авкитской свиты олокитского аллохтона вблизи тектонического шва открыто и разрабатывалось Тыйское месторождение сверхчистого кварца (см. рис. 1). Выделения тепла при механическом возвратном продвижении аллохтона хватает лишь для перекристаллизации и грануляции кварца, полевые шпаты только дробятся и перетираются.

ГАРГАНСКАЯ ГЛЫБА

Гарганская глыба, расположенная в Тункинских Гольцах Восточного Саяна, является образованием дискуссионным: то ли это отторженец Присаянского выступа Сибирской платформы, то ли западный край Тувино-Монгольского массива. Последнее время она изучается весьма активно благодаря открытому здесь месторождениям золота [Беличенко и др., 2003; Кузьмичев, 2004; Гребенщикова, 2004; Ковач и др., 2005; Жмодик и др., 2006]. Ее фундамент сложен толщей амфиболит-тоналит-трондьемитового состава, метаморфизованной в амфиболитовой и гранулитовой фациях. Последние определения возраста метаморфизма дали архейские значения (U-Pb метод, 2700 млн лет [Анисимова и др., 2009]). Таким образом, возраст основания Гарганской глыбы, как и Чуйского поднятия, архейский. Но если Гарганская глыба сложена в основном тоналитами и трондьемитами ТТГА, состав которых идентичен среднему значению этих пород в мире (рис. 3, а) и трактуется как примитивная протокора, то состав чуйских мигматитов и гранитогнейсов сильно отличается от них, что может свидетельствовать о рециклированной природе этих пород (см. рис. 3, б).

Гарганская глыба была покрыта отложениями иркутской кварцит-карбонатной и ургагольской тер-

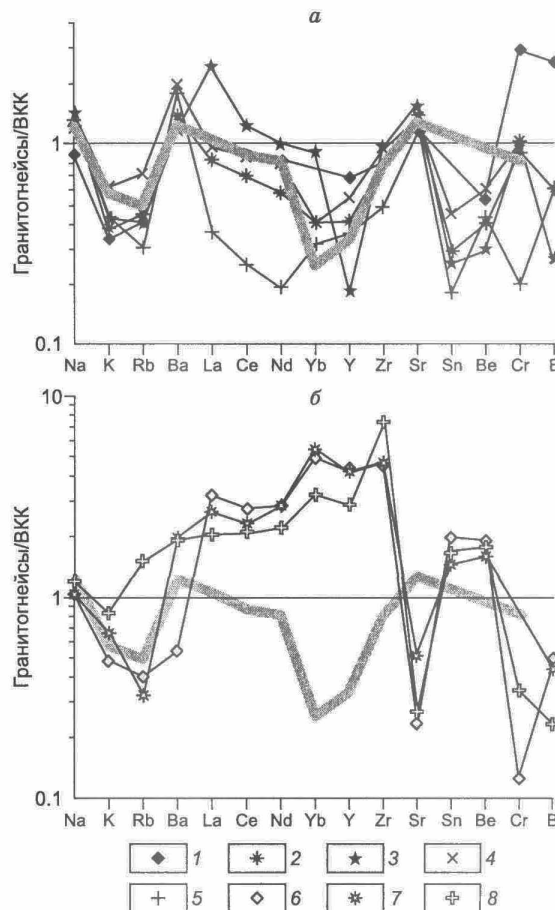


Рис. 3. Средние составы тоналитов (1, 2) и трондьемитов (3—5) Гарганской глыбы, по данным И.В. Левицкого (устное сообщение) (а); средние составы плагиогранитогнейсов (6—8) Чуйского поднятия [Макрыгина, 1981] (б).

Серая линия — среднее значение для ТТГА [Martin, 1994]. Породы нормированы по верхней континентальной коре (ВКК) [Тейлор, Мак-Леннан, 1988].

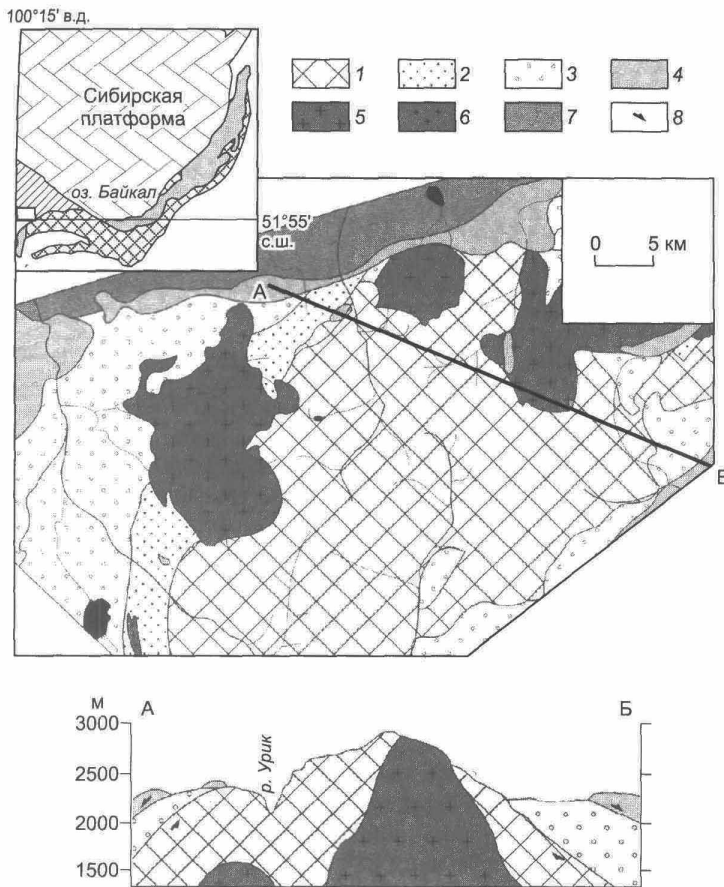


Рис. 4. Северная часть Тувино-Монгольского массива (по А.Б. Кузьмичеву [2004] с дополнениями авторов).

1 — фундамент Гарганской глыбы; 2, 3 — чехол Гарганской глыбы: 2 — осветленные кварциты иркутской свиты, 3 — иркутская и уртагольская свиты; 4 — оphiолитовый комплекс нерасчлененный; 5 — гранитоиды сумсунурского комплекса; 6 — гранитоиды мункусардыкского комплекса; 7 — чехол Тувино-Монгольского массива; 8 — направление тектонических движений. На врезке положение изучаемого района.

ригенной свиты [Геология..., 1988]. В разрезе иркутской свиты имеется большое количество пластов кварцитов и кварцитосланцев, а также кварц-карбонатных пород. Вдали от границ тектонических пластин кварц в них не гранулирован, и они имеют различную степень загрязнения. Хотя с помощью метода ICP-MS было установлено, что углистые микрокварциты (силициты) отличаются исходно высоким уровнем чистоты [Федоров и др., 2012]. Возраст пород иркутской свиты превышает 1100 млн лет, а около 1020 млн лет образовались оphiолиты Дунжугурской дуги. Позже (около 900—850 млн лет) в результате коллизии произошла обдукация оphiолитовых покровов на породы Гарганской глыбы и ее чехла [Кузьмичев, 2004; Кузьмичев, Ларионов, 2013], которая обусловила зеленосланцевый метаморфизм терригенно-карбонатных отложений.

Гранитизация гнейсов и выплавление плагиогранитов и тоналитов в основании глыбы привели к ее изостатическому всплытию со сбросовыми смещениями и эрозией перекрывающих толщ. Это хорошо видно на геологической схеме А.Б. Кузьмичева [2004] (рис. 4): легче всего разрушались и смешались вниз серпентинитовые пластины, остатки которых обрамляют по краю основание глыбы. В междуречье Самарты и Улзыты на контакте с доломитами мы наблюдали оталькование подошвы

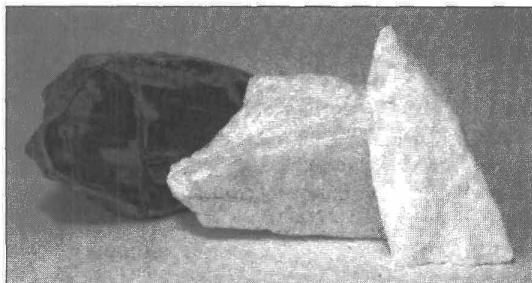


Рис. 5. Разновидности кварцитов месторождения Бурал-Сарыдаг — от черного до белоснежного метасоматического кварцита.

Размеры образцов около 10 см.

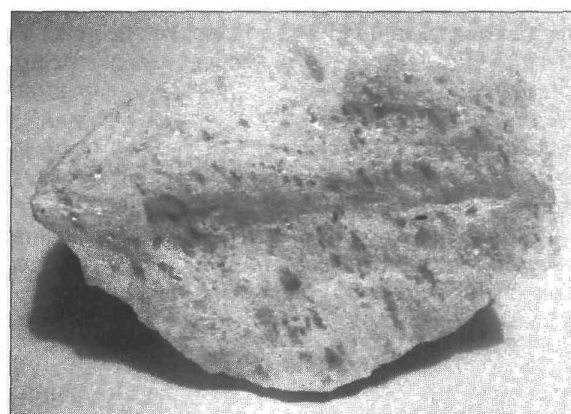


Рис. 6. «Суперкварцит» с порфировидной структурой, ориентированной вдоль направления скольжения перекрывающей пластины.

Размер образца около 6 см.

серпентинитов, как и в основании серпентинитовой пластины на руч. Бого-Хонголдой (по сообщению В.Г. Беличенко). Но и в кварцитах, и карбонатах иркутной свиты встречаются многочисленные зеркала скольжения, имеющие падение от центра глыбы. В гнейсах и тоналитогнейсах основания глыбы также описаны многочисленные зоны бластокатаклаза [Ковач и др., 2005]. Таким образом, как и в случае Чуйского поднятия, мы наблюдаем всплытие основания глыбы, сбросовые смещения перекрывающих пород и катаклаз поверхности автохтона и нижних подразделений аллохтона (см. рис. 1, 4, разрезы). Кроме того, и здесь закартированы прерывистые горизонты межформационных конгломератов с карбонатными и кварцевыми, слабоокатанными гальками в хлорит-карбонатном матриксе. По [Беличенко, 1975], они относятся к верхам иркутной свиты и тоже могут быть обусловлены движением тектонических пластин. На Гарганской глыбе картина осложняется, во-первых, внедрением сумсунурских гранитов (790 млн лет), «ссылающихся» чехол с основанием. Во-вторых, более тяжелые и легче скользящие серпентинитовые пластины, которые в этом процессе еще и отальковываются, двигаются не по поверхности автохтона, а по подразделениям карбонатно-кварцитовой иркутной свиты или вместе с ними. Как и на Чье, воздействию этих движений подвергаются прежде всего кварциты: они перекристаллизуются и очищаются (рис. 5). Наиболее ценные и чистые «суперкварциты» имеют характерные порфировидные структуры с удлинением крупных зерен, отражающим направление движения (рис. 6). Месторождение Бурал-Сарьдаг и все открытые проявления сверхчистого кварца на западном склоне Гарганской глыбы приурочены к повышенным формам рельефа.

ОБСУЖДЕНИЕ РЕЗУЛЬТАТОВ

Предыдущие исследователи метасоматически измененных кварцитов иркутной свиты считали, что причиной очистки кварцитов является либо воздействие сумсунурских гранитов [Воробьев и др., 2003], либо проработка водно-углекислотными растворами, отделяющимися при сдвигах [Быдтаева, 2004]. Изучение геохимии сверхчистых кварцитов, которое стало возможным лишь с появлением такого чувствительного метода, как ICP-MS, с определением самых малых концентраций редких элементов, показало, что около массивов гранитов приконтактовые разности кварцитов, напротив, загрязнены гранитофильными элементами и окончательно очищаются позже, при движении по ним тектонических пластин (рис. 7) [Федоров и др., 2012]. Спайдер-диаграмма, где редкие элементы гарганских кварцитов нормированы по средним содержаниям их же в обычных кварцитах Ольхонской серии, убедительно показывает как чистоту исходных силицидов и «суперкварцитов», так и обогащение кварцитов вблизи контактов гранитов Rb, Ba, Sn, РЗЭ и другими гранитофильными элементами. То же самое в отношении главных элементов видно в табл. 3.

В работах [Вернон, 1980; Попов, 2011] показано, что кварцевые скопления (жильный кварц и кварциты) в условиях длительного динамического стресса легче всего подвергаются грануляции и автолизии под воздействием перехода механической энергии трения в тепловую без участия растворов. Эти явления должны быть характерны для пород, испытывающих преобразования при формировании комплексов, подобных изученным.

Мы рассмотрели тектонические соотношения и состав толщ, вмещающих месторождения и проявления сверхчистого кварца в Прибайкалье. Это Тыйское месторождение в Северном Прибайкалье и Бурал-Сарьдаг в Восточном Саяне. В истории их образования прослеживается несколько необходимых и, возможно, достаточных геологических и тектонических предпосылок.

1. Отложение кварцитов в составе кремнисто-карбонатной толщи без существенной примеси терригенного материала с небольшим количеством толеитовых вулканитов. Такие толщи могут отлагаться в преддуговых бассейнах вдалеке от источника терригенного материала [Геология..., 1987]. Они исходно будут достаточно чисты от примесей, что мы наблюдаем в кварцитах Бурал-Сарьдага и других саянских проявлений чистых кварцитов.

2. Эти толщи либо отлагались, либо были надвинуты вместе с олиолитами в про-

Рис. 7. Спайдер-диаграмма редкоэлементного состава разновидностей кварцитов месторождения Бурал-Сарьдаг.

1 — «суперкварциты»; 2 — исходные силициды; 3 — осветленные кварциты; 4 — серые приконтактовые кварциты; 5 — темно-серые приконтактовые кварциты. Нормированы по среднему составу кварцитов Ольхонского региона (данные В.А. Макрыгиной).

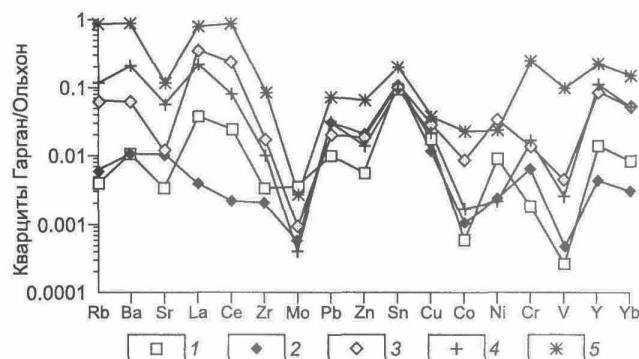


Таблица 3. Состав главных компонентов в разновидностях кварцитов месторождения Бурал-Сарыдаг (г/т)

| Компонент | «Суперкварцит» | Кварциты | | Силицит | | Темно-серый приконтактовый кварцит |
|-------------|-----------------|--------------|------------------|----------|----------------|------------------------------------|
| | | светло-серые | черные пластовые | исходный | приконтактовый | |
| АЭСА | | | | | | |
| Al | ICP-MS 33.00 | 104 | 72 | 41 | 649 | 5779 |
| Ti | 4.07 | 15.43 | 15.00 | 1.2 | 20 | 342 |
| Fe | 9.22 | 92.21 | 108 | 24.6 | 46 | 596 |
| Mn | 0.05 | 1.10 | 0.57 | 1.56 | 2 | 2.35 |
| Mg | 1.73 | 56.35 | 44.26 | 226 | 722 | 239 |
| Ca | 2.47 | 14.84 | 8.50 | 455 | 1374 | 144 |
| Na | 4.95 | 9.73 | 12.60 | 5 | 11 | 227 |
| K | 6.12 | 81.37 | 163 | 11 | 243 | 2033 |
| P | 0.69 | 3.90 | 4.40 | 0.60 | 4 | 76.33 |
| B | 0.17 | 2.30 | 1.82 | 0.16 | 1 | 20.72 |
| Сумма | 62.00 | 379 | 428 | 765.36 | 3071 | 9439 |
| <i>n</i> | 8 | 42 | 10 | 4 | 4 | 3 |

Примечание. Анализы выполнены в ИГХ СО РАН методом ICP-MS, аналитики Ю.В. Сокольникова, Е.В. Смирнова и атомно-эмиссионным спектральным методом (АЭСА), аналитик И.Е. Васильева. *n* — число проб.

цессе коллизии на более древнее, высокометаморфизованное основание, сложенное, как правило, гранигнейсами или ТТГА. При надвигании толщ осуществляется ретроградный метаморфизм основания и низкотемпературный метаморфизм нижних пластов аллохтона (Гарганской глыбы).

3. Обогащенное гранитным материалом основание испытывает подъем, изостатическое «всплытие», в результате чего в надвинутых толщах происходят сбросовые смещения по склонам растущего поднятия. Признаки этого явления — развитие катаклазитов, милонитов и брекчий на поверхности автотхтона и подошве аллохтона, которые типичны и для структур метаморфических ядер.

4. Процесс механического воздействия при перемещении тектонических пластин приводит к образованию «суперкварцитов» — наилучшего сырья для солнечного кремния, так как выделения тепла при механическом возвратном продвижении аллохтона хватает лишь для перекристаллизации и грануляции кварца, остальные минералы только дробятся и перетираются.

5. Ранее для Гарганской глыбы предполагалось образование сверхчистых кварцитов при воздействии гранитоидов (790 млн лет) [Воробьев и др., 2003] или обдукции оливиновых гранитоидов (900 млн лет) [Федоров и др., 2011]. Но изучение состава примесей в кварцитах показало наличие в них загрязнения гранитофильными элементами из сумусунских гранитоидов с последующей очисткой осветленных микрокварцитов и «суперкварцитов» в результате коллапса обдукционного режима и смещения вниз по склону перекрывающих основание толщ. Таким образом, формирование «суперкварцитов» должно быть моложе этих двух событий (900 и 790 млн лет) и имеет тектоническую природу.

Работа выполнена при поддержке РФФИ (грант 11-05-00515), интеграционного проекта СО РАН ОНЗ-10.3, интеграционного проекта партнерских фундаментальных исследований СО РАН № 33.

ЛИТЕРАТУРА

Анисимова И.В., Левицкий И.В., Сальникова Е.Б., Котов А.Б., Левицкий В.И., Резницкий Л.З., Ефремов С.В., Великославинский С.Д., Бараши И.Г., Федосеенко А.М. Возраст фундамента Гарганской глыбы (Восточный Саян): результаты U-Pb геохронологических исследований // Изотопные системы и время геологических процессов (материалы IV Российской конференции по изотопной геохронологии). Т. 1. СПб., ИГГД РАН, 2009, с. 35—36.

Беличенко В.Г. Ара-хонголдайские конгломераты и их аналоги (Тункинские Гольцы Восточного Саяна) // Геология и геофизика, 1975 (5), с. 25—32.

Беличенко В.Г., Резницкий Л.З., Гелетий Н.К., Бараши И.Г. Тувино-Монгольский массив (к проблеме микроконтинентов Палеоазиатского океана) // Геология и геофизика, 2003, т. 44 (6), с. 554—565.

Быдтаева Н.Г., Киселева Р.А., Яшин В.Н. Геологические особенности формирования нового типа гранулированного кварца Гарганского кварценосного района (Восточный Саян) // Кварц. Кремнезем. Материалы Международного семинара. Сыктывкар, Геопринт, 2004, с. 185—187.

Вернон Р.Х. Метаморфические процессы. Реакции и развитие микроструктуры. Пер. с англ. М., Недра, 1980, 227 с.

Воробьев Е.И., Спиридонов А.М., Непомнящих А.И., Кузьмин М.И. Сверхчистые кварциты Восточного Саяна (Республика Бурятия, Россия) // ДАН, 2003, т. 390, № 2, с. 219—222.

Геология окраинных бассейнов / Под ред. Б.П. Кокелаара, М.Ф. Хаузлса. М., Мир, 1987, 462 с.

Геология и метаморфизм Восточного Саяна / В.Г. Беличенко, Ю.П. Бутов, Р.Г. Боос, Н.Л. Добрцов, В.А. Долматов, С.М. Жмодик, Э.Г. Конников, М.И. Кузьмин, В.Н. Медведев, М.Н. Меланина, А.Г. Миронов, Н.А. Немировская, А.М. Огурцов, А.А. Постников, П.А. Рошектаев, Е.В. Скляров, А.В. Филимонов, А.А. Шафеев. Новосибирск, Наука, 1988, 192 с.

Добрецов Н.Л., Картачченко В.Г., Габов Н.Ф. Метаморфизованная рифейская олистострома в Северном Прибайкалье // Геология и геофизика, 1983 (5), с. 22—32.

Донская Т.В., Гладкочуб Д.П., Мазукабзов А.М., Пресняков С.Л. Возраст, петрогенезис и геодинамическая обстановка формирования палеопротерозойских гранитов чуйского и кутимского комплексов (Байкальский краевой выступ фундамента Сибирского кратона) // Геодинамическая эволюция литосферы ЦАСП (от океана к континенту). Материалы совещания. Вып. 8. Иркутск, Изд-во Института географии СО РАН, 2010, с. 95—97.

Жмодик С.М., Постников А.А., Буслов М.М., Миронов А.Г. Геодинамика Саяно-Байкало-Муйского аккреционно-коллизионного пояса в неопротерозое—раннем палеозое, закономерности формирования и локализации благороднометалльного оруденения // Геология и геофизика, 2006, т. 47 (1), с. 183—197.

Клитин К.А., Павлова Т.Г. Офиолитовый комплекс Байкальской складчатой области // Докл. АН СССР, 1974, т. 215, № 2, с. 413—418.

Ковач В.П., Левицкий В.И., Матуков Д.И., Бережная Н.Г., Котов А.Б., Резницкий Л.З., Бараш И.Г., Козаков И.К., Сергеев С.А. Тоналиты Гарганского блока Тувино-Монгольского массива — возраст, корреляции и аналоги среди древнейших комплексов Присаянья // Геодинамическая эволюция литосферы Центрально-Азиатского подвижного пояса (от океана к континенту). Иркутск 10—14 октября 2005 г. Т. 1. Иркутск, Изд-во Института географии СО РАН, 2005, с. 125—128.

Кузьмичев А.Б. Тектоническая история Тувино-Монгольского массива: раннебайкальский, позднебайкальский и раннекаледонский этапы. М., ПРОБЕЛ-2000, 2004, 192 с.

Кузьмичев А.Б., Ларионов А.Н. Неопротерозойские островные дуги Восточного Саяна: длительность магматической активности по результатам датирования вулканокластики по цирконам // Геология и геофизика, 2013, т. 54 (1), с. 45—57.

Макрыгина В.А. Геохимия регионального метаморфизма и ультраметаморфизма умеренных и низких давлений. Новосибирск, Наука, 1981, 199 с.

Макрыгина В.А. Геохимия катализитов иловирской свиты и их природа // Геохимия, 1991, № 6, с. 878—888.

Макрыгина В.А., Конева А.А. Геохимические особенности и происхождение нюорундуканской серии Северного Прибайкалья // Геология и геохронология докембрия Сибирской платформы и ее обрамления. Л., Наука, 1990, с. 104—117.

Макрыгина В.А., Сандимирова Г.П., Николаев В.М., Паходченко Ю.А., Литвинцев К.А., Калмычкова Т.Н. Новые данные о возрасте мигматитов и гранитогнейсов чуйской серии (Северное Прибайкалье) // Геология и геофизика, 1993, т. 34 (9), с. 31—36.

Петров Б.В., Макрыгина В.А. Геохимия метаморфизма и ультраметаморфизма умеренных и низких давлений. Новосибирск, Наука, 1975, 342 с.

Попов В.А. О кристаллизации и перекристаллизации в кварцевых телах // Материалы Всероссийского совещания «Современные проблемы изучения и использования минерально-сырьевой базы кварцевого сырья-2011». Миасс, Екатеринбург, УрО РАН, 2011, с. 142—145.

Рыцк Е.Ю., Шалаев В.С., Ризванова Н.Г., Крымский Р.Ш., Макеев А.Ф., Риле Г.В. Олокитская зона Байкальской складчатой области: новые изотопно-геохронологические и петрогохимические данные // Геотектоника, 2002, № 1, с. 29—41.

Рыцк Е.Ю., Макеев А.Ф., Глебовицкий А.В., Федосеенко А.М. Гранитоиды фундамента Олокитской зоны (Байкальская складчатая область): новые U-Pb изотопные данные // ДАН, 2006, т. 407, № 6, с. 819—822.

Скляров Е.В., Мазукабзов А.М., Мельников А.И. Комплексы метаморфических ядер кордильерского типа. Новосибирск, Изд-во СО РАН, НИЦ ОИГМ СО РАН, 1997, 182 с.

Тейлор С.Р., Мак-Леннан С.М. Континентальная кора, ее состав и эволюция. М., Мир, 1988, 379 с.

Тугаринов А.И., Варламов В.А., Карпенко С.Ф., Ручкин Г.В. Изотопный состав свинца галени-
тов Холоднинского колчеданно-полиметаллического месторождения и вмещающих пород // Геохимия,
1976, № 2, с. 202—210.

Федоров А.М., Спиридовон А.М., Будяк А.Е., Сокольникова Ю.В., Куликова З.И. Условия
формирования месторождения сверхчистых кварцитов Бурал-Сарыдаг (Восточный Саян) // Изв. Сиб. от-
деления Секции наук о Земле РАН, 2011, № 1 (38), с. 94—104.

Федоров А.М., Макрыгина В.А., Будяк А.Е., Непомнящих А.И. Новые данные о геохимии и ме-
ханизме формирования кварцитов месторождения Бурал-Сарыдаг (Восточный Саян) // ДАН, 2012, т. 442,
№ 2, с. 244—249.

Afonin V.P., Finkelstein A.L., Borkhodoev V.J., Gunicheva T.N. X-ray fluorescence analysis of rocks
by fundamental parameter method // X-ray Spectrometry, 1992, v. 21, p. 69—75.

Bhatia M.R., Crook K.A.W. Trace element characteristic of graywackes and tectonic setting discrimina-
tion of sedimentary basins // Contr. Miner. Petrol., 1986, v. 92, № 2, p. 181—193.

Geostandards Newsletters. 1994. V/ XVIII. Spec. Issue. July, 1994.

Martin H. Archean grey gneiss and the genesis of continental crust // Archean crustal evolution /
Ed. K. C. Condé. Elsevier, Amsterdam, 1994, p. 205—259.

Рекомендована к печати 23 мая 2013 г.
Н.Л. Добрецовым

Поступила в редакцию
14 марта 2013 г.